

INTERFERENCIA VIDOV AKO ZDROJ INFORMÁCIÍ O OPTICKÝCH VLÁKNACH INTERMODAL INTERFERENCE AS A SOURCE OF INFORMATION ON OPTICAL FIBRES

Daniel Káčik¹, Ivan Turek², Ivan Martinček², Drahomír Grendár¹

¹Katedra komunikácií, ²Katedra fyziky, Elektrotechnická fakulta, Žilinská univerzita, Veľký diel, 01026, Žilina

Abstrakt: V práci je uvedený principiálny popis interferencie vidov v optických vláknach, z ktorého vyplývajú možnosti jej sledovania v spektrálnej a dĺžkovej (priestorovej) oblasti. Sú stručne popísané zariadenia použité pre takéto vyšetrovanie a sú uvedené ilustrácie dosiahnutých výsledkov. V závere sa poukazuje na rozmanité možnosti využitia interferencie vidov pre zisťovanie informácií o profile indexu lomu vyšetrovaného vlákna.

Summary: A basic description of intermodal interference which follows possibility investigation of intermodal interference in spectral and space region. There is also a brief description of equipments used for such investigation and some illustrations of obtained results. There is pointed in the latest paragraphs on different possibilities how the intermodal interference investigation can give some information about refractive index profile in the investigated fibre.

1. ÚVOD

V literatúre sa s pojmom interferencia vidov v optických vláknach najčastejšie stretávame v spojení so senzorovými aplikáciami. Takéto senzory obyčajne využívajú zmenu fázových konštant vidov, ktoré sa menia so zmenami geometrických a materiálových parametrov optických vláken [1,2]. Takisto sa môžeme stretnúť s využitím interferencie vidov pre konštrukciu spektrálnych filtrov. V predchádzajúcich prácach sme ukázali, že interferenciu vidov možno použiť i pre kontrolu geometrických a prenosových parametrov optických vláken [3,4]. Napriek tomu, že sa v poslednej dobe vyvinuli rozmanité kontrolné postupy vychádzajúce z dobre rozvinutej báze zariadení OTDR [5], domnievame sa, že metódy vychádzajúce z interferencie vidov môžu nájsť svoje uplatnenie pri kontrole vláken a tejto problematike je venovaný i predkladaný článok.

2. POPIS INTERFERENCIE

Pri vlnových dĺžkach menších ako hraničná vlnová dĺžka λ_c sa vláknom môže šíriť viac vidov [10]. Ako je dobre známe, rôzne vidy sa v optickom vlákne šíria rôznymi rýchlosťami (inak povedané majú rôzne konštanty šírenia). Tento rozdiel viedie ku špeciálnemu efektu tzv. interferencii vidov, ktorú môžeme vyšetrovať, ak sú splnené určité podmienky, ktoré vyplynú z nasledujúceho popisu.

V kruhovo symetrických vláknach sa polarizácia svetla neprejaví na vlastnostiach vidov, takže rozloženie optického poľa na konci vlákna, ktorým sa šíria dva vidy, môžeme vyjadriť

$$u(x, y, z, t) = a_1 \psi_1(x, y) \exp[j(\omega t + \beta_1 z)] + \\ + a_2 \psi_2(x, y) \exp[j(\omega t + \beta_2 z)], \quad (1)$$

kde a_1, a_2 sú amplitúdy interferujúcich vidov, ψ_1 a ψ_2 sú funkcie vyjadrujúce rozloženie poľa príslušných vidov, x, y, z sú súradnice, t je čas, ω je uhlová frekvencia svetelnej vlny a β_1 a β_2 sú fázové konštanty uvažovaných vidov.

Ak rozdiel medzi grupovými rýchlosťami interferujúcich vidov je tak malý, že oneskorenie jedného vidu voči druhému je menšie ako doba koherencie zdroja svetla, potom signál vytvorený detektorm môžeme napísať

$$s = \int c(x, y) u(x, z, y, t) \cdot u^*(x, z, y, t) dS, \quad (2)$$

kde c je citlivosť detektora a S je jeho plocha. Ak citlivosť detektora c nezávisí na súradničach, po rovnásobení a úpravách vzťahu (2) dostávame

$$s = s_1 + s_2, \quad (3)$$

kde

$$s_1 = c \int_S [a_1^2 \psi_1(x, y)^2 + a_2^2 \psi_2(x, y)^2] dx dy \quad (4)$$

a

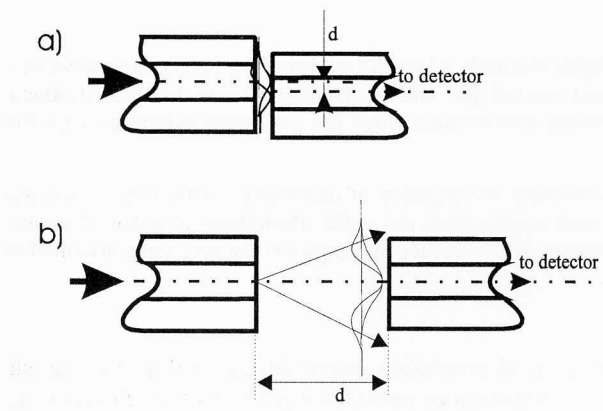
$$s_2 = 2c \int_S [a_1 a_2 \psi_1(x, y) \psi_2(x, y)] dx dy \cos\left(\frac{\omega z - \omega z}{v_1 - v_2}\right) \quad (5)$$

kde v_1 a v_2 sú fázové rýchlosťi uvažovaných vidov. Ako vidieť zo vzťahu (4), prvy člen vo vyjadrení intenzity signálu podľa (3) je súčtom kvadratických členov a jeho hodnota nezávisí od fázových konštant jednotlivých vidov, zatiaľ čo druhý člen tohto vzťahu podľa (5) závisí nielen od amplitúd, ale aj od fázy interferujúcich vidov.

Ak sú ψ_1 a ψ_2 ortogonálne (t.j. skalárny súčin funkcií je rovný nule) a citlivosť detektora c nezávisí od súradníč, hodnota druhého člena rovnice (3) je rovná nule. Aby bolo možné pozorovať interferenciu vidov, je potrebné narušiť ortogonalitu funkcií popisujúcich detekované interferujúce

pole. Dá sa to dosiahnuť rôznymi spôsobmi, napríklad použitím detektora s citlivosťou závislou od polohy, ovplyvnením poľa vhodnou diafragmou, alebo sa optické pole na konci vyšetrovaného vlákna sníma ďalším tzv. detekčným vláknom.

Na nasledujúcom obrázku je znázornený spôsob „narušenia“ ortogonality funkcií použitý v našich meraniach v prípade vyšetrovania interferencie vidov LP_{01} , LP_{11} a LP_{01} , LP_{02} .



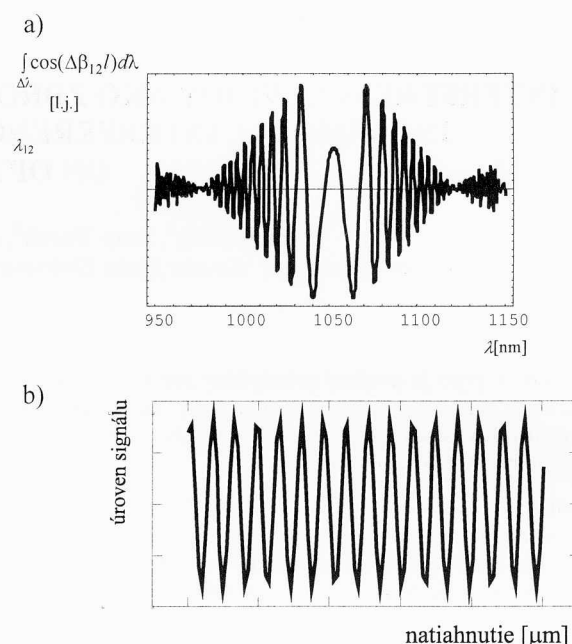
Obr. 1. Vzájomná poloha vyšetrovaného a detekčného vlákna pre sledovanie interferencie. a) LP_{01} - LP_{11} , a b) LP_{21} - LP_{02} dvojice vidov.

Fig. 1. Relative displacement of investigated and detecting fibres at investigation intermodal interference a) LP_{01} , LP_{11} , and b) LP_{21} and LP_{02} modes.

Zo vzťahu (5) vyplýva, že pri porušení ortogonalnosti vidov môžeme pri konštantnej vlnovej dĺžke pozorovať periodickú (harmonickú) závislosť interferenčného člena s_2 a teda i výsledného signálu od dĺžky vlákna (interferencia v dĺžkovej oblasti). Pri konštantnej dĺžke vlákna z tohto vzťahu vyplýva kváziperiodická závislosť signálu od vlnovej dĺžky (interferencia vo frekvenčnej oblasti), tak ako to je zobrazené na obr.2.a a 2.b.

3. EXPERIMENTÁLNE VYŠETRENIE INTERFERENCIE V DĽŽKOVEJ OBLASTI

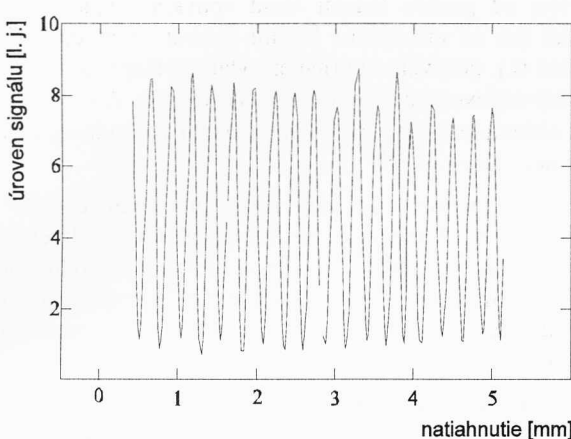
Zariadenie použité na vyšetrovanie interferencie vidov v dĺžkovej oblasti pozostáva z He-Ne lasera pracujúceho na vlnovej dĺžke 633 nm, z pohyblivého stolíka s elektronickou registráciou jeho posunutia pomocou merača výchyliek EDK 93 a 3D mikroposuvného stolíka poskytujúceho nastavenie polohy vyšetrovaného a detekčného vlákna, prostredníctvom ktorého sa realizovala volba interferujúcich vidov (obr.1.)



Obr.2. Charakter signálu pri sledovaní interferencie a) v spektrálnej oblasti, b) v dĺžkovej oblasti.

Fig.2. Signal character of intermodal interference in a) spectral and b) space region

Vlákna použité v experimente boli konvenčné optické telekomunikačné vlákna, dĺžky približne 100 cm. Časť vyšetrovaného vlákna bola zbavená primárnej ochrany a v tomto mieste bolo vlákno prichytené na pevnú kovovú tyčku. Ďalšia časť vlákna bez primárnej ochrany bola prilepená na pohyblivom stolíku. He-Ne laser bol použitý ako zdroj svetla. Na vlnovej dĺžke 633 nm je vlákno štvorvidové (šíria sa vidy LP_{01} , LP_{11} , LP_{21} a LP_{02}). Z týchto vidov len LP_{01} , a LP_{02} sú kruhovo symetrické a preto môžu byť súčasne vybudené, ak naväzované svetlo je fokusované na stred jadra vlákna pomocou šošovky. Nakoľko sa nedá úplne zamedziť vybudeniu nesymetrických vidov, signál z konca vyšetrovaného vlákna sa sníma detekčným vláknom pomocou ktorého narušíme ortogonalitu vidov LP_{01} a LP_{02} (obr.1b). Vyšetrované vlákno sa pri meraní naťahuje pomocou posuvného stolíka. Pri zmene dĺžky vyšetrovanej časti vlákna sa mení fázový rozdiel medzi šíriacimi sa vidmi, čo vedie k harmonickej závislosti signálu od dĺžky vlákna (obr.3.). Priebehy namerané pri rôznych vláknoch sa líšia amplitúdou a počtom extrémov pripadajúcich na celkovú dĺžku. Veľkosť amplitúdy nie je dôležitá pri určovaní zásnejovej dĺžky interferencie vidov, pretože závisí len od vybudenia jednotlivých vidov, od vzdialenosťí čiel vyšetrovaného a detekčného vlákna. Počet extrémov však priamo súvisí s veľkosťou zásnejovej dĺžky. Z nameraných závislostí boli odčítané zásnejové dĺžky pre jednotlivé optické vlákna.



Obr.3. Ilustrácia nameranej závislosti amplitúdy signálu od predĺženia optického vlákna.

Fig.3. Dependence of the measured signal amplitude on an extension of the fibre.

Tak ako je vidieť z tab.1, záznejová dĺžka interferencie vidov LP_{01} a LP_{02} pre jednotlivé vlákna nie je rovnaká, čo principiálne umožňuje takéto vyšetrovanie použiť na testovanie vzoriek vláken, pretože s natáhovaním vlákna sa teoreticky menia i jeho parametre. Či zmena parametrov vyvolaná natáhnutím vlákna má pozorovateľný vplyv na jeho parametre bolo overené tým, že sme vyšetrili vlákna rôznych dĺžok (30 a 70 cm). Nezávislosť záznejovej dĺžky interferencie vidov od natáhnutia vlákna sa potvrdila tým, že nameraná záznejová dĺžka nezávisela od dĺžky vlákna.

Tab. 1. Záznejová dĺžka interferencie vidov LP_{01} a LP_{02}

Poradové číslo vlákna	Záznejová dĺžka v μm
1	314
2	295
3	285
4	309
5	274
6	322

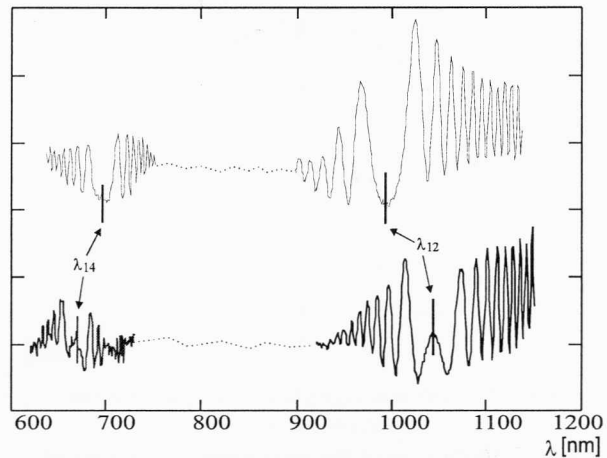
4. EXPERIMENTÁLNE VYŠETRENIE INTERFERENCIE VO FREKVENČNEJ OBLASTI

Experimentálne zariadenie použité na vyšetrovanie interferencie vidov pozostáva z halogénovej žiarovky, monochromátora a 3D mikroposuvného stolíka.

Interferencia vidov bola vyšetrovaná na bežných konvenčných telekomunikačných vláknach s priemerom jadra $10 \mu\text{m}$ a s hraničnou vlnovou dĺžkou λ_c približne 1230 nm . Merania spektrálnej závislosti boli vykonané na

vláknach dĺžky 20 až 80 cm. V takto krátkych vláknach rozdiel medzi optickými dráhami vidov je menší ako koherenčná dĺžka svetla zdroja. Na druhej strane pri vyšetrovaní takto krátkych vláken plášťové vidy môžu ovplyvniť celkové interferenčné pole. Aby sme zabránili tomuto efektu, bol použitý glycerínový sťahovač plášťových vidov.

Spektrálne závislosti získané popísanou metódou [3] sú dané na obr. 4



Obr.4. Spektrálne závislosti signálu interferencie LP_{01} , LP_{11} , a LP_{21} a LP_{02} na dvoch rôznych vláknach.

Fig.4. Spectral dependence of the signal at intermodal interference LP_{01} , LP_{11} , a LP_{21} a LP_{02} in twodifferent fibres.

Napriek tomu, že vyšetrované optické vlákna majú výrobcom zaručené rovnaké parametre, sú medzi nimi veľké rozdiely. Vyšetrovali sme rozdiel medzi vlnovými dĺžkami interferenčných stredov $\lambda_{1,2}$ (t.j. vlnových dĺžok kde zmena spektrálnej závislosti je najpomalšia). Hodnoty vlnových dĺžok interferenčných stredov prvého a druhého vidu sa líšili o viac ako 70 nm a interferenčné stredy prvého a štvrtého vidu sa líšili o viac ako 20 nm . Reprodukčnosť meraní bola asi 2 nm . Z toho vyplýva, že rozdiely mnohonásobne prevyšujú rozptyl našich meraní.

5. SIGNIFIKANTNÉ PARAMETRE POPISU INTERFERENCIE VIDOV A ICH SÚVIS S PROFILOM INDEXU LOMU

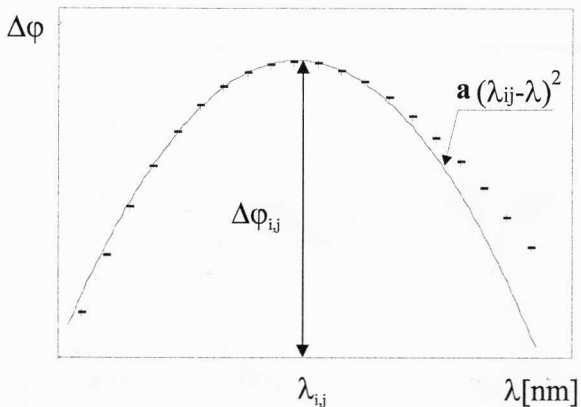
Spektrálnu a priestorovú závislosť hodnôt interferenčného člena možno charakterizovať viacerými parametrami. Tými najvýraznejšími charakteristikami sú (obr.5):

- Vlnové dĺžky stredov interferencie λ_{ij} . Sú to vlnové dĺžky, na ktorých pre rozdiel fázových konštánt $\Delta\beta = \beta_i - \beta_j$ interferujúcich vidov i a j platí $\partial(\Delta\beta) / \partial\lambda = 0$.
- Rozdiel fáz $\Delta\phi_{ij}$ pri vlnových dĺžkach rovných λ_{ij} . Medzividový fázový rozdiel $\Delta\phi_{ij}$ jednotlivých vidov i a j na konci vlákna dĺžky L pri vlnovej dĺžke λ je daný vztahom

$$\Delta\phi_{ij}(\lambda) = (\beta_i(\lambda) - \beta_j(\lambda)) L.$$

Tento parameter súvisí so záznejovou dĺžkou $l_{ij}(\lambda)$ interferujúcich vidov i a j na vlnovej dĺžke λ . Záznejovú dĺžku možno určiť z interferencie vidov v dĺžkovej oblasti.

- Parametre a_{ij} charakterizujúce strmosť maxima závislosti ϕ od λ



Obr. 5 .Ilustrácia signifikantných parametrov interferencie modov..

Fig. 5. Illustration of the significant parameters of intermodal interference.

Parameter λ_{ij} možno určiť priamym odčítaním z experimentálne nameraných spektrálnych závislostí prenosovej funkcie.

Z experimentálne nameraných spektrálnych závislostí je možné parameter a_{ij} určiť tak, že odčítame také hodnoty vlnových dĺžok λ , pre ktoré sa rozdiel fáz interferujúcich vidov $\Delta\phi(\lambda)$ zmení o 2π (napr. polohy susedných maxim). Potom je možné zostrojiť grafickú závislosť $\Delta\phi(\lambda)$. Takáto závislosť je v okolí hodnoty λ_{ij} parabolická s vrcholom paraboly na vlnovej dĺžke λ_{ij} a je možné popísť ju funkciou $a_{ij}(\lambda_{ij}-\lambda)^2$. Uvedli sme, že hodnoty $\Delta\phi_{ij}$ možno stanoviť na základe nameranej záznejovej dĺžky pri meraení interferencie v dĺžkovej oblasti. Príne povedané, premeraním záznejovej dĺžky pri rôznych vlnových dĺžkach sa dajú určiť všetky uvedené parametre. Nakol'ko ale meranie spektrálnej závislosti signálu je experimentálne jednoduchšie, je výhodnejšie záznejovú dĺžku (pre každú dvojicu interferujúcich vidov) zmerať iba pri jednej vlnovej dĺžke a ostatné parametre určiť zo spektrálnej závislosti.

Pomocou vlnových dĺžok interferenčných stredov λ_{jk} a λ_{pq} pre interferujúce dvojice vidov j , k a p , q môžeme určiť pomer vlnových dĺžok interferenčných stredov

$$L_{jkpq} = \frac{\lambda_{jk}}{\lambda_{pq}}$$

L_{jkpq} je jeden z významných parameterov interferencie vidov.

Kým predchádzajúce parametre interferencie vidov závisia od profilu indexu lomu optického vlákna, L_{jkpq} závisí len od charakteru profilu indexu lomu optického vlákna (t.j. nezávisí od priemeru vlákna) Napr. pre vlákno so step-indexovým profilom indexu lomu je $L_{1214} = 1,468$ bez ohľadu na priemer jeho jadra, zatiaľ čo hodnoty λ_{jk} od priemeru jadra závisia.

Pomocou spomínaných parametrov interferencie vidov a pomocou interferenčných priebehov ako vo frekvenčnej tak i dĺžkovej oblasti môžeme za istých podmienok získať informácie o geometrických i materiálových parametroch optických vláken. V stručnosti spomenieme niekoľko príkladov:

Ak sa jedná o vlákno so step-indexovým profilom indexu lomu, tak môžeme numerickou simuláciou nameraného interferenčného obrazu určovať parametre n_{co} – maximálny index lomu v jadre optického vlákna, n_{cl} – minimálny index lomu v pláští optického vlákna a r – polomer jadra optického vlákna [3].

Ak profil indexu lomu optického vlákna môžeme popísť tzv. „ α profilom“ a poznáme polomer jadra optického vlákna a rozdiel indexu lomu medzi jadrom a pláštom optického vlákna, tak zo závislosti $\Delta\phi_{ij}(\lambda)$ môžeme určiť parameter α [6].

Parameter α môžeme však určiť aj pomocou hodnoty L_{jkpq} bez ďalšieho poznania parametrov optického vlákna [7,8].

Ak poznáme charakter profilu indexu lomu a dva parametre z parametrov n_{co} , n_{cl} a r , tak pomocou λ_{jk} môžeme určiť tretí z týchto parametrov.

Ak poznáme pomer vlnových dĺžok interferenčných stredov prvého a druhého vidu a prvého a štvrtého vidu môžeme súdiť na charakter profilu indexu lomu [4]. Vlnová dĺžka interferenčného stredu výrazne závisí na polomere jadra optického vlákna a tiež na jeho numerickej apertúre [3]. Taktiež z pomeru fyzikálnej hraničnej vlnovej dĺžky λ_c a vlnovej dĺžky interferenčného stredu môžeme usudzovať na mikrohyby [9].

Na základe tohto môžeme povedať, že meranie interferencie vo frekvenčnej a v dĺžkovej oblasti je užitočný a doposiaľ nedocenený zdroj informácií o vlastnostiach optických vláken.

6. ZÁVER.

Jednoduchosť merania interferencie vidov a dobrá zhoda medzi nameranými a vypočítanými hodnotami poukazuje na to, že vyšetrovanie interferencie vidov môže byť užitočné pre kontrolu pri výrobe optických vláken. Krivky uvedené na obr.3. a hodnoty uvedené v tab. 1 potvrdzujú rozdielnosť medzi jednotlivými vláknami a tým možnosť vyšetrovania vláken práve pomocou merania interferencie vidov. To, že sledovanie interferencie vidov vykázalo rozdiely u komerčných vláken so zaručenou rovnosťou prenosových parametrov poukazuje, že metóda môže byť citlivým indikátorom odlišností optických vláken.

Samozrejme, parametre vláken sa nedajú zistit' len samotným meraním interferencie, pretože vlastnosti

interferenčného člena neovplyvňujú len jeden parameter. Avšak v kombinácii s inými meraniami dovoľuje získať viac informácií o parametroch optických vláken, než to dovoľujú štandardné diagnostické metódy.

LITERATÚRA

- [1] KUMAR, A. - GOEL, N. K. - VARSHNEY, R. K.: *Studies on a Few-Mode Fiber-Optic Strain Sensor Based on LP₀₁-LP₀₂ Mode Interference*, J. of Lightwave Technology, Vol.19, (2001), 358 .
- [2] EFTIMOV, T. A. - BOCK, W. J.: *Senzing with a LP₀₁-LP₀₂ Intermodal Interferometer*, J. of Lightwave Technology, Vol.11, (1993), 2150- - 2156
- [3] TUREK, I. - MARTINČEK, I. - STRÁNSKY, R.: *Interference of modes in optical fibers*, Optical Engineering 39, (2000), 1304.
- [4] MARTINČEK, I. - GRONDŽÁK, K. - TUREK, I. - DADO, M. - PETERKA, P. - KÁČIK, D.: *Vplyv profilu indexu lomu na interferenciu módov v optických vláknach*, zborník konferencie Optické komunikace 2000, Praha . str.133
- [5] JASENEK, J.: *The utilization of synthesized coherence function in optical time-domain reflectometry*, Journal of Electrical Engineering, 53, (2002), 30.
- [6] POSEY, R. - PHILLIPS, L. - DIGGS, D. - SHARMA, A.: *LP₀₁-LP₀₂ interference using a spectrally extended light source: measurement of the non-step-index profile of optical fibers*, Opt. Lett., vol.21, (1996), 1357-1359.
- [7] HLUBINA, P.: *Spektrální závislosti parametrů šíření dvojice vidů optického vlákna určené měřením vyrovnávací vlnové délky a mezividové disperze*, Jemná mechanika a optika, 3/99, 83-87.
- [8] MARTINČEK, I.: *Vyšetrovanie geometrických parametrov step-indexových telekomunikačných optických vláken pomocou interferencie vidov*, Doktorská dizertačná práca, Žilinská univerzita, Žilina, 2001.
- [9] TUREK, I. - KÁČIK, D. - ČERNICKÝ, S.: *Bending dependence of cut-off wavelength of optical fibres and their transfer function* Jemná mechanika a optika, 7-8/2001, 227.
- [10] DADO, M. - TUREK, I. - ŠTELINA, J. - BITTERER, L. - TUREK, S. - GROLMUS, E. - STIBOR, P.: *Kapitoly z optiky pre technikov*, Žilina, 1998